

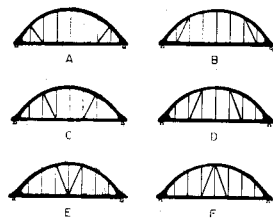
## 構造総合の推測統計的解析

金沢大学工学部 正員 小堀 義雄  
 ナイ大学院 学生員 ○三上 秀行

1. まえがき 最近、交通量の増大と車両の大型化により、道路橋(特にランガー、ローラー橋)の静的・動的安定性が望まれている。これには一般歩行者に与える振動が大きいための“不快感”など管理上、環境問題も含まれる。以上の事は既設道路橋、及び新設橋梁の設計時に、振動感覚も含めた静的・動的安定の最適な構造の設計を指向していると思われる。今回は一つの解析モデルとしてローラー橋の模型実験による検討例を報告する。

2. 実験計画と実験、(1)目的特性に及ぼす構造の原因系(因子)を図-1 のようK斜吊材K想定し、目的特性との関係を(1)式のようにK定義する。

$$\gamma = f(X_{A_1}, X_{B_1}, X_{C_1}, X_{D_1}, X_{E_1}, X_{F_1}) \quad (1)$$



シニズム  $X_{A_i}$  はオレ木準  $i$  の因子 A の値である。但し、 $f(X_{A_1} \cdots X_{F_1})$  以外 K  $\gamma$  K 及ぼす “当ではない欠除” を無視する。また  $f(X_{A_1} \cdots X_{F_1})$  の線形化された観測値の構造モデルを(2)式のように定義する。

Fig. 1. Factor

$$Y = X_1 \mu_1 + X_{A_1} \mu_{A_1} + \cdots + X_{AB_1} \mu_{AB_1} + \cdots + X_{ABCDEF} \mu_{ABCDEF} + \varepsilon = X \mu + \varepsilon \quad (2)$$

シニズム Y は観測値ベクトル、X は計画行列、μ は未知母数ベクトル、ε は誤差ベクトル  $E\{\varepsilon\} = 0$ 、 $E\{\varepsilon^2\} = I_n \sigma^2$ 、又 Y、ε  $\in N(0, \sigma^2)$  と仮定する。各因子の木準数は斜材が“入る”“入らない”の木水準 ( $i, j, k, l, m, n = 1, 0; \text{mod } 2$ ) とする。計画行列 X は対称、各因子を直交配列表 OA (32, 31, 2, 2)  $\stackrel{(3)}{\sim}$  通り (定義対比 ABCDEF)、 $\frac{1}{2}$  実施直交計画を行なう。3 因子以上の高次交互作用を無視し、それらを誤差の推定量とする。b) 未知母数の最良線形不変推定量  $\hat{\mu}$  は一般 K Gauss-Markoff の定理より、最小二乗法で求められる。正規方程式  $X'X\mu = X'y$  から(3)を得る。

$$\hat{\mu} = (X'X)^{-1}X'y \quad [ \text{ノ} \text{は} \text{転置} \text{を} \text{示} \text{す} ] \quad (3)$$

c) 分散分析はこの μ を用いて各要因効果を F 検定するのであるが、シニズム  $\hat{\mu}$  を用いながら、対称行列を生成元とする集合の全体、多元環 (Algebra over Ring) を用いて分析を行なう。直交構成から  $X'X_B = X'_A X_C = \cdots = X'_F X_E = 0$ 、よって多元環 A の実対称行列の生成元はそのまま基底となり (4) 式を得る。  $A = [I_n, X_A, X_B, X_C, \cdots, X_F, X_{AB}, X_{AC}, \cdots, X_{EF}, X_0, X_0']$  —— (4)

A は準单纯環であり、A の両側イデアル分解は完全可約で、各部分空間は一意的に直和分解される。

$$A = A \oplus A_A \oplus A_B \oplus \cdots \oplus A_F \oplus A_{AB} \oplus \cdots \oplus A_{EF} \oplus A_0. \quad (5)$$

(5) 式より単位元 ( $I_n \in A$ ) の各部分空間への主ベキ等元の分解も一意的である。

$$I_n = e_1 + e_2 + e_3 + \cdots + e_F + e_{AB} + \cdots + e_{EF} + e_0. \quad (6)$$

(6) 式は観測値の平方和の独立な二次形式統計量の一意分解を与える。

$$y' I_n y = y'_1 y_1 + y'_2 y_2 + y'_3 y_3 + \cdots + y'_F y_F + y'_{AB} y_{AB} + \cdots + y'_{EF} y_{EF} + y'_0 y_0 \quad (7)$$

(7) 式が要因効果の各成員を与える。又  $\hat{\mu} = e_0$  と  $X'\hat{\mu} = e'y$  なる関係が表かされる。帰無仮説 ( $\mu=0$ ) に対する分散分析を表-1 に示す。有意とな、要因効果を用い、逆 Yates の方法から観測値

を含めこの処理母平内の推定値  $\hat{X}_{A_i}$

$\{X_{A_1}, X_{C_1}, X_{D_1}, X_{E_1}, X_{F_1}\}$  を求め、(1)式の最適処理組合せを決定する。

3. 実験結果、特性値として加速度（最大加速度の二乗和の平方根）と振動刺激（速度の二乗和の平方根）を採用し、変動及公差与率の小さい零因効果は誤差をpoolingし、再度分散分析を行なう。其結果を表-2に示す。

表-2から、 $\{X_{A_1}, X_{B_1}, X_{C_1}, X_{D_1}, X_{E_1}, X_{F_1}\}$ （斜材がない場合）の最適処理組合せにおける特性値の最大値を比較すると、加速度ではF、振動刺激ではAが最も高く、零因効果となる。この場合の各最適処理組合せを求めると、 $\{X_{A_1}, X_{B_1}, X_{C_1}, X_{D_1}, X_{E_1}, X_{F_1}\}$ になり両方とも同じ結果となる。これはC, D, Fの斜材を挿入した場合、両特性値に対して最も低い特性を与える事を意味し、又斜材A, B, Eの挿入効果はあまりない事を意味する。図-2は断面力の影響線を、図-3は固有振動数とモードを示す。実線は鉛直斜材だけの場合、虚線はC, D, Fを挿入した場合である。静的には二ノルセ型ロービー橋と類似する。軸力は大差ないが、曲げモーメントは極端に減少し、剛度も上げ、応力（軸応力と曲げ応力との合成）が大きくなり期待でき得る。動的にはモードを変え、振動数を上げ、振動変位を拘束する。なお上弦材も同じ傾向を示す。

4. おとがえ、非抗圧材の斜材挿入により静、動的安定性が期待できるが、特に耐荷力の増大を図る既設ロービー橋には有効な方法であろう。その場合、格闘に全て斜材を挿入しなくては十分安全性が得られるシヒを実験的に示した。新設橋梁の設計における（実験的検討は不可能であるが）斜材挿入と“当りはめ欠除”，倒伏による斜材の断面強度、張力や主構の剛度などを含めこのYを最適にする構造系の設計法など今後の問題として残る。最後に、終始実験とデータ解析に御援助をいただいた学部4年生、服部守雄君に感謝いたします。

#### 参考文献

- 1) 小堀・梶川「道路橋の振動測定法とその特性」道路(1974-7)
- 2) 小堀・梶川「橋梁振動の人間工学的評価法」土木学会論文集(1974-10)
- 3) 小堀・城戸・三上「実験計画法による構造解析」土木学会中部支部研究発表会(549.)
- 4) 高木他「守谷大橋(ニールセン型ロービー橋)の実験報告」土木学会論文集(1970-5)

Table 1. Analysis of variance

Source of variation	Sum of squares	Degrees of freedom	Mean square (Unbiased variance)	Variance ratio (F value)	Contribution rate (%)
A	$y_{A_1}$	$n_A$	$y_{A_1}/n_A$	$y_{A_1}/n_A \times (y_{A_1} - (A \cdot y_{A_1}/n_A))$	$100 \times [y_{A_1} - (A \cdot y_{A_1}/n_A)] / y_{A_1}$
B	$y_{B_1}$	$n_B$	$y_{B_1}/n_B$	$y_{B_1}/n_B \times (y_{B_1} - (B \cdot y_{B_1}/n_B))$	$100 \times [y_{B_1} - (B \cdot y_{B_1}/n_B)] / y_{B_1}$
C	$y_{C_1}$	$n_C$	$y_{C_1}/n_C$	$y_{C_1}/n_C \times (y_{C_1} - (C \cdot y_{C_1}/n_C))$	$100 \times [y_{C_1} - (C \cdot y_{C_1}/n_C)] / y_{C_1}$
F	$y_{F_1}$	$n_F$	$y_{F_1}/n_F$	$y_{F_1}/n_F \times (y_{F_1} - (F \cdot y_{F_1}/n_F))$	$100 \times [y_{F_1} - (F \cdot y_{F_1}/n_F)] / y_{F_1}$
A+B	$y_{AB_1}$	$n_{AB}$	$y_{AB_1}/n_{AB}$	$y_{AB_1}/n_{AB} \times (y_{AB_1} - (A+B \cdot y_{AB_1}/n_{AB}))$	$100 \times [y_{AB_1} - (A+B \cdot y_{AB_1}/n_{AB})] / y_{AB_1}$
A+C	$y_{AC_1}$	$n_{AC}$	$y_{AC_1}/n_{AC}$	$y_{AC_1}/n_{AC} \times (y_{AC_1} - (A+C \cdot y_{AC_1}/n_{AC}))$	$100 \times [y_{AC_1} - (A+C \cdot y_{AC_1}/n_{AC})] / y_{AC_1}$
A+F	$y_{AF_1}$	$n_{AF}$	$y_{AF_1}/n_{AF}$	$y_{AF_1}/n_{AF} \times (y_{AF_1} - (A+F \cdot y_{AF_1}/n_{AF}))$	$100 \times [y_{AF_1} - (A+F \cdot y_{AF_1}/n_{AF})] / y_{AF_1}$
E+F	$y_{EF_1}$	$n_{EF}$	$y_{EF_1}/n_{EF}$	$y_{EF_1}/n_{EF} \times (y_{EF_1} - (E+F \cdot y_{EF_1}/n_{EF}))$	$100 \times [y_{EF_1} - (E+F \cdot y_{EF_1}/n_{EF})] / y_{EF_1}$
Error	$y_{E_1}$	$q=7-25$	$y_{E_1}/q$	$y_{E_1}/q \times (y_{E_1} - (E \cdot y_{E_1}/q))$	$100 \times [y_{E_1} - (E \cdot y_{E_1}/q)] / y_{E_1}$
Total	$y_{T_1}$	$n$			100

Table 2

Shock point (1:span)	Acceleration	Stimulus
$\frac{1}{4}$	$C^{**}, D^{**}, E^*, F^*$ $(A, B, C, D, E, F)^{**}$	$C^{**}, D^{**}, E^*, F^*$ $C^*, D^*, E^*, F^{**}$
$\frac{1}{2}$	$C^{**}, D^{**}, E^{**}, F^{**}$ $(C, D, E, F)^{**}$	$A^*, C^*, D^{**}, E^{**}, F^{**}$ $C^*, D^{**}, E^*, F^{**}$

\* : level of significance 5 %

\*\* : level of significance 1 %

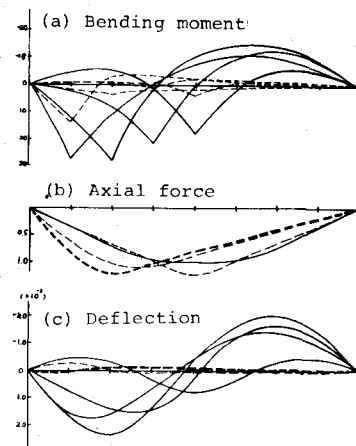


Fig.2. Influence line  
(Lower chord)

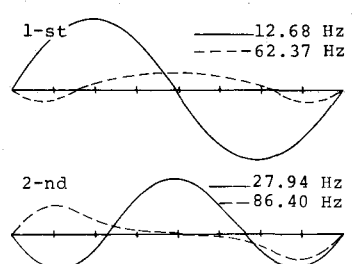


Fig.3. Natural frequency  
and mode